



Artikel

Belastbare und nachhaltige Strukturen durch EMI-basiertes SHM Evaluierung eines innovativen C-FRP-Seils Kräftigungstechnik

Nikos A. Papadopoulos *, Maria C. Naoum





Labor für Stahlbeton und erdbebensichere Konstruktion von Bauwerken, Abteilung Bauingenieurwesen, Technische Fakultät, Demokrit-Universität Thrakien, 67100 Xanthi, Griechenland; mnaoum@civil.duth.gr (MCN); gsapidis@civil.duth.gr (GMS); chaliori@civil.duth.gr (CEC)

* Korrespondenz: nikpapad@civil.duth.gr

Zusammenfassung: Stahlbetonelemente (RC) in bestehenden Stahlbetonstrukturen sind aufgrund ihrer unzureichend verstärkten Konstruktion anfällig für Scherkräfte. Daher ist die Implementierung einer Nachrüsttechnik unerlässlich, um die Verluste zu vermeiden, die durch plötzliche und katastrophale Einstürze aufgrund der Sprödigkeit dieser Elemente entstehen könnten. Neben anderen vorgeschlagenen Techniken hat sich die Verwendung von Seilen aus kohlenstofffaserverstärktem Kunststoff (C-FRP) zur Erhöhung der Scherfestigkeit von Stahlbetonstrukturelementen als vielversprechende Verstärkungsanwendung erwiesen. Zudem wurde eine elektromechanische Impedanzmethode (auf EMI-Basis) unter Verwendung von Bleizirkoniatitanat (PZT-fähig) eingesetzt, um die Effizienz des Verstärkungsschemas zu beurteilen. Zunächst wurde die vorgeschlagene Technik auf C-FRP-Seile angewendet, die einem Auszugstest unterzogen wurden. So wurde mithilfe des metrischen Index der quadratischen Abweichung (RMSD) eine Korrelation der Zugfestigkeit des Seils mit den EMI-Reaktionen des PZT-Patches erreicht. Anschließend wurde die Methode auf die experimentell erfassten Daten von C-FRP-Seilen angewendet, die als Schubbewehrung in einem rechteckigen, tiefen Träger verwendet wurden. Die Seile wurden mithilfe des Embedded Through Section (ETS)-Verfalt Darüber hinaus wurde ein Ansatz zur Bewertung der Restschertragfähigkeit auf Grundlage der EMI-Reaktionen ausprobiert, die durch Einbettung in und Bindung an die PZTs der Seile erzielt wurden. Dieser Ansatz lieferte vielversprechende Ergebnisse und eine gute Präzision im Vergleich zur analytischen Vorhersage des Scherwiderstandsbeitrags der C-FRP-Seile.



Zitat: Papadopoulos, NA; Naoum, MC: Sapidis, GM:

Chalioris. CE Resilient und

Nachhaltige Strukturen durch EMI-basierte SHM-Bewertung eines

Innovative C-FRP-

Seilverstärkungstechnik. Appl. Mech. **2024**, 5, 405–419. https://doi.org/ 10.3390/ applmech5030024

Empfangen: 28. April 2024 Überarbeitet: 30. Mai 2024 Akzeptiert: 5. Juni 2024 Veröffentlicht: 21. Juni 2024



Copyright: © 2024 bei den Autoren.
Lizenznehmer MDPI, Basel, Schweiz.
Dieser Artikel ist ein Open Access-Artikel
vertrieben unter den Bedingungen und
Bedingungen der Creative Commons
Namensnennungslizenz (CC BY)
(https://creativecommons.org/licenses/by/4.0/).

Schlüsselwörter: Strukturelle Integritätsüberwachung (SHM); elektromechanische Impedanz (EMI); piezoelektrischer Wandler (PZT); C-FRP-Seil; Scher-Nachrüsttechnik; Auszug

1. Einleitung

Ein erheblicher Anteil der Stahlbetonbauteile in bestehenden Stahlbetonkonstruktionen ist häufig nicht ausreichend gegen Scherkräfte bewehrt, was hauptsächlich auf veraltete und unzureichende Konstruktionsvorkehrungen zurückzuführen ist. Diese Bauteile sind anfällig für scherkritische Rissbildung und bergen aufgrund ihrer unzureichenden Festigkeit und Verformungsfähigkeit das Risiko von Sprödbrüchen [1,2]. Daher ist die Umsetzung von Nachrüsttechniken zur Stärkung der Schertragfähigkeit unabdingbar, um die potenziellen Verluste durch plötzliche und katastrophale Einstürze dieser spröden Stahlbetonbauteile zu verringern [3,4].

Unter den verfügbaren Nachrüsttechniken ist die Stahlbetonummantelung eine beliebte Wahl, um Mängel an Stahlbetonbauteilen in vorhandenen Strukturbaugruppen zu beheben [5,6]. Zahlreiche Studien haben die Vorteile der herkömmlichen Stahlbetonummantelung hinsichtlich der Erhöhung der Tragfähigkeit [7], der Steifigkeit und der allgemeinen strukturellen Reaktionseffizienz [8,9] hervorgehoben.

Trotz ihrer Wirksamkeit hat die konventionelle RC-Ummantelung jedoch ihre Grenzen. Herausforderungen wie Veränderungen der strukturdynamischen Eigenschaften infolge erheblicher Zunahmen von Masse und Steifheit sowie der arbeitsintensive Charakter des Prozesses haben Forscher dazu veranlasst, alternative Nachrüsttechniken unter Verwendung alternativer Materialien zu erforschen. Dieser Innovationsdrang zielt darauf ab, die Nachteile der konventionellen Ummantelung zu überwinden .

Stahlbetonummantelung, bei der gleichzeitig die strukturelle Integrität und Leistung bestehender Stahlbetonbauteile effektiv verbessert wird [10–12].

Eine weitere Schwachstelle von Stahlbetonkonstruktionen, die nach veralteten Vorschriften errichtet wurden, ist ihre Anfälligkeit für morphologische Probleme, die auf mangelnde Kenntnisse hinsichtlich der Erdbebensicherheit zurückzuführen sind [13]. Die Konstruktion kurzer Strukturelemente birgt Risiken für die Erdbebenreaktion der Struktur. Kurze Elemente wie kurze Stützen und tiefe Balken neigen zu sprödem Versagen, wodurch ihr Beitrag zur Gesamtduktilität der Struktur reduziert wird [14]. Tiefe Balken sind aufgrund ihres starken Scherverhaltens kritische Strukturelemente in Stahlbetonstrukturen [15].

Generell kann Scherversagen bei Stahlbetonkonstruktionen zu plötzlichen und unerwarteten Einstürzen von Teilen oder sogar der gesamten Konstruktion führen und damit die Integrität und Sicherheit der Insassen gefährden [16]. Diese strukturellen Mängel unterstreichen die dringende Notwendigkeit von Nachrüstungs- und Verstärkungsmaßnahmen, um die Erdbebensicherheit bestehender Stahlbetonkonstruktionen zu erhöhen und die damit verbundenen Risiken durch Scherversagen zu mindern.

Ein Balken wird anhand seines Scherverhältnisses, das mit Gleichung (1) ermittelt wird, als tief oder kurz eingestuft. Insbesondere wenn das mit Gleichung (1) berechnete Scherverhältnis unter 2,5 fällt, wird der Balken als tief eingestuft. Diese Klassifizierung ist in der Baustatik von entscheidender Bedeutung, da sie hilft, Balken mit ausgeprägtem Scherverhalten zu identifizieren und so Konstruktionsüberlegungen und Nachrüststrategien zur Gewährleistung der strukturellen Integrität und Sicherheit zu unterstützen.

$$\ddot{y}s = \frac{\ddot{y}v}{D} = \frac{M}{V d} \quad \ddot{y} \ 2,5 \tag{1}$$

406

Dabei stellt ÿv die Scherspanne des Elements dar, d bezeichnet die statische Höhe und M und V bezeichnen jeweils die Größen des Biegemoments und der Scherkraft des Querschnitts.

Nach dem Saint-Venant-Prinzip führt die Anwendung einer externen Last zu gestörten Bereichen innerhalb von tiefen Balken, in denen sich die Stützen überlappen, wodurch die Bereiche, in denen das Bernoulli-Prinzip bei Biegung auf den Balken zutrifft, aufgehoben werden. Folglich erfordert die Analyse von tiefen Balken die Anwendung von Streben- und Zugsimulationstechniken, wobei der Beton die Aufgabe übernimmt, Druckkräfte zu übertragen, während die Längsbewehrung die Zugkräfte aufnimmt.

Das mechanische Verhalten von Tiefbalken wird stark von ihren geometrischen Eigenschaften, Belastungsbedingungen und der vorhandenen Querbewehrung beeinflusst. In Stahlbetonkonstruktionen erfordern Tiefbalken aufgrund ihrer begrenzten Duktilität und unzureichenden Querbewehrung dringend Verstärkungsmaßnahmen .

Die Unfähigkeit, bestehende Infrastrukturen und Strukturen umfassend zu sanieren, hat die Entwicklung neuartiger Überwachungs- und Verstärkungsmethoden vorangetrieben. Diese innovativen Ansätze zielen darauf ab, die Mängel bestehender Stahlbetonstrukturen zu beheben und gleichzeitig ihre Belastbarkeit und Langlebigkeit angesichts dynamischer Belastungen und Umweltherausforderungen zu verbessen

2. Vorgeschlagene Innovation und Ziel der Studie In

den letzten Jahrzehnten haben sich faserverstärkte Kunststoffe (FRP), die außen mit Epoxidharzen verklebt sind, als Standardlösungen für die Sanierung [17–19], Verstärkung, Aufrüstung und Reparatur von Stahlbetonkonstruktionen herausgestellt. Diese Anwendungen umfassen aufgrund ihrer unzähligen Vorteile verschiedene Strukturelemente [20], darunter schubverstärkte Balken [21,22], torsionsverstärkte Balken [23] und schubverstärkte Balken-Stützen-Unterbaugruppen [24].

Zu diesen Vorteilen zählen hohe Zugfestigkeit und Dauerfestigkeit, geringes Gewicht und außergewöhnliche Korrosionsbeständigkeit [25,26]. Insbesondere kohlenstofffaserverstärkte Kunststoffe (CFK) zeichnen sich im Vergleich zu anderen FKV durch ihre überlegene Leistung in diesen Eigenschaften aus.

Darüber hinaus zeichnen sich CFKs durch eine hohe Steifigkeit aus, die es ihnen ermöglicht, den Bewehrungsanforderungen von Betonstrukturen gerecht zu werden und gleichzeitig die Verformung von Strukturelementen aufzunehmen [27]. Diese Eigenschaft verbessert ihre Eignung für Nachrüstungsanwendungen, bei denen die Aufrechterhaltung der strukturellen Integrität unter wechselnden Belastungsbedingungen von größter Bedeutung ist.

Trotz der zahlreichen Vorteile von FRP-Materialien bestehen jedoch Bedenken hinsichtlich ihrer Anwendung in realen Strukturumgebungen. Probleme wie vorzeitige Delamination

Es wurden Risiken wie Versagen und geringe Feuerbeständigkeit angesprochen, die bei ihrer Umsetzung sorgfältige Überlegungen erforderlich machten [28]. Die in der Grenzflächenzone zwischen dem FRP-Verbundwerkstoff und der Betonoberfläche beobachtete verringerte Kohäsion kann zu einer geringeren als der vorgesehenen Dehnungsreaktion führen und folglich die Nachrüsteffizienz der verwendeten FRPs aufgrund vorzeitiger Ablösung verringern [29,30].

407

Die Lösung dieser Probleme und die Optimierung der Leistungsfähigkeit von FRP-Materialien in Strukturanwendungen bleiben wichtige Forschungs- und Entwicklungsbereiche. Durch die Verbesserung der Grenzflächenbindungsfestigkeit, die Verbesserung der Feuerbeständigkeit und die Erforschung innovativer Nachrüsttechniken kann das volle Potenzial von FRP zur Verbesserung der Haltbarkeit und Belastbarkeit von Stahlbetonstrukturen ausgeschöpft werden.

Darüber hinaus hat umfangreiche Forschung in der vorhandenen Literatur durchgängig die vorherrschende Versagensart bei nachgerüsteten Stahlbetonelementen mit extern mit Epoxidharz verklebten FRP- Verbundwerkstoffen als vorzeitige Ablösung oder Delamination der FRP-Schicht vom Betonuntergrund identifiziert. Diese Versagensart wird typischerweise durch hohe Spannungskonzentrationen verursacht und ist mit Sprödbruch verbunden [31]. Dieses Phänomen tritt besonders häufig bei T-förmigen Stahlbetonelementen auf, die U-förmigen Verstärkungsschemata ausgesetzt sind, bei denen das Vorhandensein der Platte die Anwendbarkeit der FRP-Umwicklung um den Querschnitt einschränkt und die Zugänglichkeit für die ordnungsgemäße Umsetzung der Endverankerung begrenzt, wodurch das Risiko eines vorzeitigen Ablösungsversagens erhöht wird.

In diesem Zusammenhang untersuchten Chalioris et al. die potenziellen Vorteile einer neuartigen Verstärkungstechnik zur Steigerung der Schubtragfähigkeit und Verbesserung der Duktilität schubkritischer Stahlbetonträger [27]. Der Schwerpunkt der Studie lag auf der Querverstärkung ausschließlich mit C-FRP-Seilen. Für die Implementierung von C-FRP-Seilen wurden zwei verschiedene Konfigurationen untersucht: Embedded Through Section (ETS) für Balken mit rechteckigem Querschnitt und Near Surface Mounted (NSM) für T-förmige, geflanschte, tiefe Balken. In beiden Fällen lieferte die experimentelle Durchführung der angewandten Scherverstärkungstechnik vielversprechende Ergebnisse, da die untersuchten scherkritischen Balken letztendlich Biegeversagen aufwiesen. Diese Ergebnisse unterstreichen die Wirksamkeit des vorgeschlagenen Verstärkungsansatzes bei der Verbesserung der strukturellen Leistung von Stahlbeton-Tiefbalken und der Minderung des Risikos eines scherbedingten Versagens.

Daher erweist sich die Verwendung von C-FRP-Seilen zur Verstärkung der Scherfestigkeit von Stahlbetonbauteilen als vielversprechende Verstärkungstechnik. Die Vielseitigkeit der Verankerungsanordnungen für diese Seile ermöglicht die volle Ausnutzung ihrer hohen Zugfestigkeit und bietet Flexibilität bei nachträglichen Konstruktionsstrategien. Darüber hinaus können C-FRP-Seile in mehreren Konfigurationen eingesetzt werden, darunter in vorgekerbten Kerben entlang der Höhe des Trägers (NSM) [32,33] oder eingebettet durch den Steg des Trägers (ETS). Diese Anpassungsfähigkeit ermöglicht es den Ingenieuren, den Verstärkungsansatz an die spezifischen Anforderungen und Einschränkungen jedes Strukturelements anzupassen und so die Wirksamkeit der Verstärkungsmaßnahme zu maximieren.

Die vorgeschlagenen Techniken bieten zwar potenzielle Vorteile, doch aufgrund erheblicher Mängel sind weitere Untersuchungen erforderlich. Bisherige Forschungen konzentrierten sich vorwiegend auf die frühzeitige Erkennung von Schäden an epoxidgebundenen FRP-Verstärkungen und schlugen zerstörungsfreie Prüfmethoden (NDT) vor, insbesondere bei der Verstärkung von Stahlbetonstrukturen mit FRP-Verbundwerkstoffen . Viele dieser Methoden erweisen sich jedoch aufgrund struktureller Einschränkungen und der Notwendigkeit, den Schadensort im Voraus zu kennen, für große und komplexe Strukturer Darüber hinaus sind die meisten ZfP-Ansätze durch zeitaufwändige Verfahren, hohe Kosten, Zugangsanforderungen vor Ort und einen Mangel an kontinuierlichen Echtzeitüberwachungsmöglichkeiten gekennzeichnet . Diese Einschränkungen unterstreichen den Bedarf an robusteren und vielseitigeren Techniken, um die Herausforderungen der Strukturüberwachung und Schadenserkennung effektiv anzugehen [16].

Wie oben hervorgehoben, stellt die Gewährleistung der nahtlosen Integration bestehender
Strukturelemente mit Verstärkungsmaterialien eine vielschichtige Herausforderung dar, die mit
Unsicherheiten behaftet ist . Daher wird die Überwachung der strukturellen Integrität nachgerüsteter
Strukturelemente als vorteilhaft angesehen, um deren Lebensdauer sicher zu verlängern. Zahlreiche
Forscher haben sich mit Techniken zur Überwachung der strukturellen Integrität (Structural Health
Monitoring, SHM) befasst, die für Betonelemente anwendbar sind [34–36]. Untersuchungen, die sich speziell auf die

Beton mit eingearbeiteten synthetischen Makrofasern [37,38], FRP-Verbundwerkstoffe [39–41] sowie Untersuchungen zu C-FRP-verstärkten Strukturelementen sind in der Literatur relativ selten [42–45].

Während die Bedeutung von SHM für die Verbesserung der Haltbarkeit und Sicherheit von Betonkonstruktionen allgemein anerkannt ist, besteht hinsichtlich der Anwendung dieser Techniken auf faserverstärkten Beton und FRP-verstärkte Elemente weiterhin eine erhebliche Forschungslücke. Das Schließen dieser Lücke durch umfassende Untersuchungen von SHM-Methoden, die auf diese Materialien zugeschnitten sind, birgt großes Potenzial für die Weiterentwicklung des Bereichs der Strukturüberwachung und die Sicherstellung der langfristigen Leistungsfähigkeit nachgerüsteter Strukturen.

408

Die experimentelle Phase dieser Studie umfasste die Implementierung eines neuartigen Überwachungssystems an einem scherverstärkten Balken, der einer Vierpunkt-Biegebelastung ausgesetzt war, mit dem Ziel, die Wirksamkeit der C-FRP-Seilverstärkungstechnik zu beurteilen und zu bewerten. Die vorgeschlagene SHM-Methode verwendete ein auf elektromechanischer Impedanz (EMI) basierendes System, das mit piezoelektrischen Bleizirkonat-Titanat-Sensoren (PZT) für die drahtlose Impedanzüberwachung (WiAMS) ausgestattet war [46].

In diesem Versuchsaufbau wurden die Spannungsfrequenzreaktionen der entlang des Umfangs des C-FRP-Seils positionierten PZT-Patches unter unterschiedlichen Belastungsstufen aufgezeichnet. Diese Belastungsbedingungen entsprachen unterschiedlichen strukturellen Gesundheitszuständen oder Schadenszuständen. Darüber hinaus wurden Anstrengungen unternommen, den Beitrag der C-FRP-Seile zur Scherfestigkeit des Stahlbetonträgers quantitativ zu bewerten. Diese Bewertung wurde durch die Analyse statistischer Schadensindexwerte erleichtert, die aus den Überwachungsdaten abgeleitet wurden . Durch die Korrelation der Reaktion des Überwachungssystems mit den angewandten Belastungs- und strukturellen Gesundheitszuständen wurden wertvolle Erkenntnisse über die Leistung und Wirksamkeit der C-FRP-Seilverstärkungstechnik gewonnen.

Im Rahmen dieser experimentellen Studie bestand das Hauptziel darin, die Durchführbarkeit von EMI als angewandte SHM-Methode zur Überwachung der strukturellen Integrität, Wirksamkeit und Leistung von C-FRP-Seilen zu bewerten, die als Nachrüsttechnik in einem tiefen rechteckigen Träger verwendet werden. Um dieses Ziel zu erreichen, wurden während der Installation piezoelektrische Sensoren neben den Seilen eingebettet. Die Spannungsreaktionen dieser PZTs im Frequenzbereich wurden dann bei verschiedenen Zuständen der angewandten Belastung und den entsprechenden strukturellen Gesundheitsbedingungen (Belastungsniveaus) erfasst.

Darüber hinaus wurde eine Bewertung der Leistung der Nachrüsttechnik bei den untersuchten Belastungsstufen durchgeführt. Diese Bewertung wurde anhand von Werten durchgeführt, die aus der Root Mean Square Deviation (RMSD) abgeleitet wurden, einem häufig verwendeten statistischen Schadensindex. Ein einzigartiger Aspekt dieser Studie ist die Entwicklung einer kombinierten Methodik, die die Reaktionen der in die C-FRP-Seile eingebetteten PZT-Patches während des Auszugstests als Basishomogenisierungsdaten einbezieht. Durch die Integration von Daten sowohl aus dem Versuchsaufbau als auch aus dem Auszugstest wurde eine umfassende Bewertung der Leistung des C-FRP-Seils unter verschiedenen Belastungsbedingungen erreicht.

3. Versuchsprogramm 3.1.

Eigenschaften des Tiefbalkens Der R-

Tiefbalken hatte über seine gesamte Länge einen rechteckigen Querschnitt mit den Maßen L = 1,6 m, b = 150 mm Breite und h = 300 mm Höhe. Die Längsbewehrung des R-Tiefbalkens war symmetrisch angeordnet und bestand aus 2Ø14-Stäben, die sowohl in der Druck- als auch in der Zugzone angebracht waren. Zusätzlich wurden Bügel von Ø8/50 nur an den Enden des R-Tiefbalkens in der Nähe der Stützen angebracht, um die Längsbewehrung zu sichern und ein Abplatzen des Betons zu verhindern.

Die Schubspannweite des Trägers betrug \ddot{y} = 400 mm, die gesamte Betondeckung 35 mm, was eine Nutzhöhe von 265 mm ergibt. Das daraus berechnete Schubverhältnis \ddot{y} /d beträgt 1,51. Auf der rechten Schubspannweite wurde ein eingliedriges C-FRP-Seil vertikal installiert , während das Seil auf der linken Schubspannweite in ein Bohrloch mit einer Neigung von ca. 52° eingeführt wurde . Beide Seile wurden als ETS-Bewehrung installiert. Alle Details des Trägers sind in Abbildung 1 dargestellt.

Machine Translated by Google.

Appl. Mech. 2024, 5

Seile, ein Angriff - ein Angreifer, der die anderen attackiert.

Füllen von Löchern mit Epoxidharz, um Hohlräume zu beseitigen und den Zusammenhalt der eingebetteten Materialien zu verbessern.

 Anwendung einer leichten Spannung auf das Ende der Seile, um die endgültige Verankerung zu erreichen Formation.

Zugabe von mehr Epoxidharz auf die Oberfläche der Balken, um eine glattere

 Zugabe von mehr Epoxidharz auf die Oberfläche der Balken, um eine glattere Rillen.

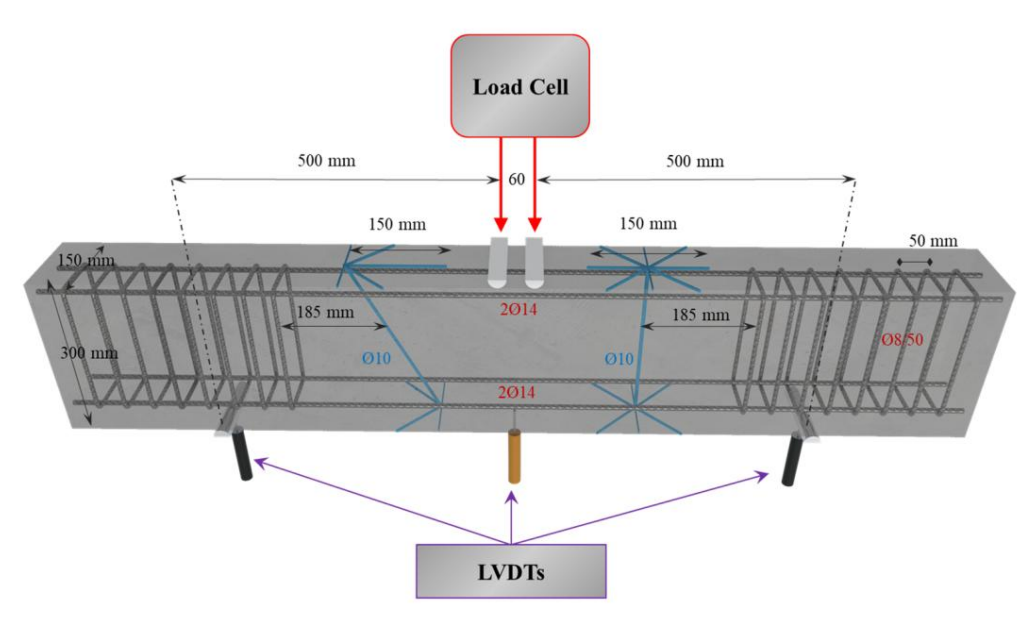


Abbildung 1. Geometrie- und Bewehrungsdetails des Trägers R-Deep Beam. **Abbildung 1.** Geometrie- und Bewehrungsdetails des Trägers R-Deep Beam.

Die Installation des ETS-Prozesses für die C-FRP-Seile in "R-FRP" verlief wie folgt: 3.2. Materialien

• Bildung der Quasten der Verankerung und Bohren der Löcher in den Steg des Balkens.

Die Studie verwendete C-FRP Seil aus unidirektionalen flexiblen Kohlenstofffasern. • Verwendung von Die Angaben des Herstellers umfassten einen Querschnitt der Bohrlöcher von ca.

etwa 28 mm2, eine Mindestdehnung vor dem Brechen von 1,6 % und eine Steifigkeit (E-Modul) von 240 GPa
• Epoxidharzimprägnierung des Seiles gemäß den technischen Daten des Herstellers für die nehattimprägnierten Fasern.

• Zugabe von mehr Epoxidharz zur Oberfläche der Balken, um glattere Rillen zu erzielen.

3.2. Materialien

In der Studie wurde ein C-FRP-Seil verwendet, das aus unidirektionalen, flexiblen Kohlenstofffasern hergestellt wurde.

Die Angaben des Herstellers beinhalten einen Querschnitt von ca. 28 mm2, eine Mindestdehnung vor dem Bruch von 1,6 % und eine Steifigkeit (Modul Elastizitätsgrenze) von 240 GPa für die unimprägnierten Fasern.

Anschließend wurde das Seil mit Epoxidharz (Sikadur-52, SIKA Hellas Kryoneri, Griechenland) getränkt, mit den in Tabelle 1 aufgeführten Eigenschaften. Dieser Prozess zielte darauf ab die mechanischen Eigenschaften und die Haltbarkeit des C-FRP-Seils. Zusätzlich wird Epoxidpaste (Sikadur-330, SIKA Hellas, Kryoneri, Griechenland) wurde zum Füllen und Abdichten der Rillen verwendet

Für den Versuchsaufbau wurden Löcher gebohrt, um eine ordnungsgemäße Haftung und strukturelle Integrität sicherzustellen.

Zur Beurteilung der mechanischen Eigenschaften des Betons werden Standard-Betonzylinder mit Abmessungen von 150 mm Durchmesser und 300 mm Höhe wurden Druck- und Spaltfestigkeitsprüfungen unterzogen. Am Tag der Prüfung betrug die durchschnittliche

Die gemessenen Druck- und Zugfestigkeiten betrugen 28,0 MPa bzw. 2,70 MPa. Die in den Versuchen verwendete Betonmischung enthielt maximale Zuschlagstoffpartikel mit einem Durchmesser von 16 mm.

Die verformten Bewehrungsstäbe (ÿ14 mm) hatten eine Streckgrenze von 580 MPa, während die Stahlbügel (ÿ8 mm) hatten eine Streckgrenze von 310 MPa.

409

Die gemessenen Druck- und Zugfestigkeiten betrugen 28,0 MPa bzw. 2,70 MPa.

Die in den Versuchen verwendete Betonmischung enthielt maximale Zuschlagstoffpartikel mit einem Durchmesser von 16 mm.

Die verformten Bewehrungsstäbe (ÿ14 mm) hatten eine Streckgrenze von 580 MPa, während die Stahlbügel (ÿ8 mm) hatten eine Streckgrenze von 310 MPa.

410

Appl. Mech. **2024,** 5

Tabelle 1. Mechanische Eigenschaften von C-FRP-Seilen.

C EDD Call Mechanisc	he Materialeigenschaften	Taballa 1	Maahaniaaha	Ciacocchoften von
C-FRP-Sellenconamise	''° Materialeidenschaften	i abelle 1.	. iviecnanische	Eigenschaften von

	C-FRP Seil	Zugfe	estigkeit (TS)		2100 GPa
Material	SikaWrap FX-50C	-	thanisthe Figenstaliateung		230 GPa
C-FRP Seil	(Laminieren) Zugfe	stigkeit (TS)ruchdehn	ung bei Zug	2100 GPa	0,87 %
SikaWrap FX-50C	Elastizitäts	smodul bei ∠ug	TS	230 GPa	45 MPa
(Laminieren)	Sikadur 300 _{Bruchdehnur}	ng bei Zug Elastizitä	tsmodul bei Zug	0,87 %	3,5 GPa
Sikadur 300		TS		45 MPa	30 MPa
	Sikadur 330 Elastizitäts	modul bei Zug	temodul boi Zua	3,5 GPa	4.5 GPa
Sikadur 330	Sikadur 330 Elastizitätsmodul bei Zug Elastizitätsmodul bei Zug TS Sika Anchorfix 3+ Drugkfeetigkeit		30 MPa	4,5 GFa 114 MPa	
	Elastizitäts	nodul bei Zug Druckfestigkeit		4,5 GPa	I I T IVII a
Sika Anchorfix 3+	3.3. Testaufbau Druckfe	estigkeit		114 MPa	

Der Balken wurde mit einem Vierpunkt-Biegeaufbau getestet, wie in 3.3 dargestellt. Testaufbau Abbildung 2. Ein hydraulischer Aktuator, der von einer servogesteuerten Maschine gesteuert wird, übt eine allmählich zunehmende Biegevbaschringigleibeiten Michaelse Bellerein der Bellereinen Michaelse Bellerein der Bellereinen Michaelse Bellerein der Bellereinen Michaelse Bellereinen Bellereinen

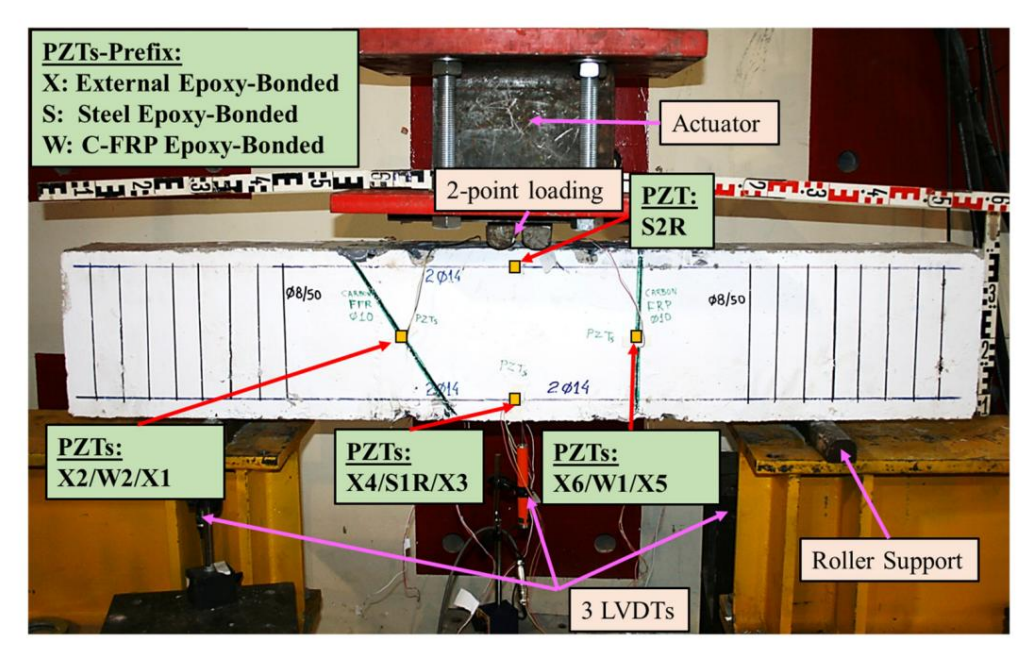


Abbildung 2: Testaufbay, Instrumentierung und \$27-k Konfiguration.

einge**ី**សង្កើតស្រុស**្សស្រាប្រាស់ ខេត្តស្រាប្រាស់ ខេត្តស្រាប្រាស់ ខេត្តស្រាប់ ខេត្តស្រាប់**

3.4. Elektromechanische Impedanz (EMI)-Technik

Die EMI-Technik verwendet PZT-Wandler und nutzt die vorteilhaften Eigenschaften des piezoelektrischen Phänomens. Unter mechanischer Belastung können PZT-Wandler erzeugen eine oberflächliche elektrische Ladung, und umgekehrt induziert die Anwendung eines elektrischen Feldes mechanische Schwingung. Durch die Nutzung dieses Phänomens aktiviert und induziert die EMI Schwingungen in gebundenen oder eingebetteten PZT-Wandlern innerhalb einer Wirtsstruktur.

Die Änderung der mechanischen Impedanz der Struktur (oder der inversen Admittanz) spiegelt sich in Änderungen am extrahierten elektrischen Signal vom PZT (entweder in Spannung oder Frequenz Reaktion). Die Wechselwirkung zwischen dem PZT und der Wirtsstruktur wird dargestellt als Admittanzsignatur bestehend aus einem Realteil (Leitwert) und einem Imaginärteil (Suspensions-

Machine Translated by Google mechanische Vibration. Durch Nutzung dieses Phänomens aktiviert und induziert die EMI Vibrationen in gebundenen oder eingebetteten PZT-Wandlern innerhalb einer Wirtsstruktur. Jede Änderung der mechanischen Impedanz (oder inversen Admittanz) der Struktur spiegelt sich in Änderungen des extrahierten elektrischen Signals vom PZT wider (entweder in der Spannung oder im Frequenzgang). Die Interaktion zwischen dem PZT und der Wirtsstruktur wird als

> Admittanzsignatur dargestellt, die aus einem Realteil (Leitfähigkeit) und einem Imaginärteil (Suszeptanz) besteht. Diese Interaktionen manifestieren strukturelle Eigenschaften innerhalb der

Scisconteberrieder Cheice un Diéze fürtetiektromoteren Artesittenen dasu kreftesten Bioen ZTreaten das nerhalb der Signatur beschrieben durch Gleichung (2) für die komplexe Admittanz Y des befestigten PZT-Patches:

wobei : harmonische Wechselspannung, die dem Stromkreis zugeführt wird, : Strom, der durch PZT fließt, G: Leitwert (der Realteil der Admittanz), B: Suszeptanz (der Imaginärteil von wobei V: harmonische Wechselspannung, die dem Stromkreis zugeführt wird, I: Strom, der durch Admittanz), i: imaginäre Einheit v: Winkelfrequenz, L: halbe Länge des Patches, h: Dicke des Patches, G: Leitwert (der Realteil der Admittanz), B: Suszeptanz (der Imaginärteil der Patches, G: Leitwert (der Realteil der Admittanz), B: Suszeptanz (der Imaginärteil der Patches, G: Leitwert (der Realteil der Admittanz), B: Suszeptanz (der Imaginärteil der Patches, G: Leitwert (der Realteil der Admittanz), B: Suszeptanz (der Imaginärteil von wobei V: des Patches, d31: piezoelektrischer Dehnungskoeffizient des PZT. Za. eff: Kurzschlusseffekt-Admittanz), j. imaginare Einneit, v. Winkelfrequenz, L. halbe Lange des Patches, h. Dicke tive mechanische Impedanz, Zs. eff: effektive strukturelle Impedanz, n. Poissonzahl, k. Welle des Petries 231: piezoelektrischer Liebnungs voerliziert des PZI. Za. eff: akurzgeschlossene effektive Impedanz, Zs. eff: effektive Strukturimpedanz, n. Poissonzahl, k. Wellenwiderstand zden konstanten elektrischen Eeld, und : komplexe elektrische Permittivität des PZT-Patches entlang der : komplexe Elastizitätsmodul unter Achse bei konstanter Spannung, konstanter Spannung, konstantes elektrisches Feld und ÿ33: komplexe elektrische Permittivität des PZT-Patches entlang der Achse bei ständige Regischer Masse- und

Steifigkeitseigenschaften, führen zwangsläufig zu Änderungen der Strukturparameter und wirken sich folglich auf Alle Änderungen am Stahlbetonträger, wie z. B. Anderungen seiner Masse- und Steifigkeitseige die effektive Strukturimpedanz. Diese Anderungen führen auch zu Anderungen der Strukturparameter und damit zu Änderungen der Admittanz gemäß Gleichung (2) und gibt damit den Gesundheitezustand des Elements en die effektive Strukturparameter. ittanz gemäß Gleichung (2) und gibt damit den Gesundheitszustand des Elements an, die effektive Strukturimpedanz. Diese rungen führen auch zu Änderungen in der

Ment 3 ____ Admittanz Y, wie in Gleichung (2) definiert, und gibt dadurch den Funktionszustand des Elements an. in dieser experimentellen Studie wurde der Ansatz zur Erkennung von Veränderungen der

Bei den festsitzenden C-FRP-Seilen wurden PZT-Wandler eingesetzt, die von einer sinusförmigen Harmonischen angeregt wurden. Bei den feststitzenden C-FRP-Seilen wurden PZT-Wandler eingesetzt, die von einer sinusförmigen Harmonischen anderegt wurden. ktar, rspiartich Spanzy, sovern E. A. Livenets abe allner der strenten zu er den zu er er fab is 25.84 bis, 25.8 mit schritten von 1 kHz aro schritt. Die PZT-Wandler dienen sowohl als Aktuatoren als auch als sensoren: Die Generatoren erzeugten das Spannungssignal und erfassten die EMI-Signaturen , die dann ighes esincs paziel entwickeltes drahtloses Gerät namens WiAMS [40,46] verarbeitet.

Bas Gerät ist mit einer hehen Rechenleistung ausgestattet, die schnelle und umfangreiche เน็ากรูยรงเมนิย์เคียงเกียรการหรือเมาย์เปนากู ซึ่งเล่ากู ซึ่งโลโกปนากู 3 dargestellt. kann

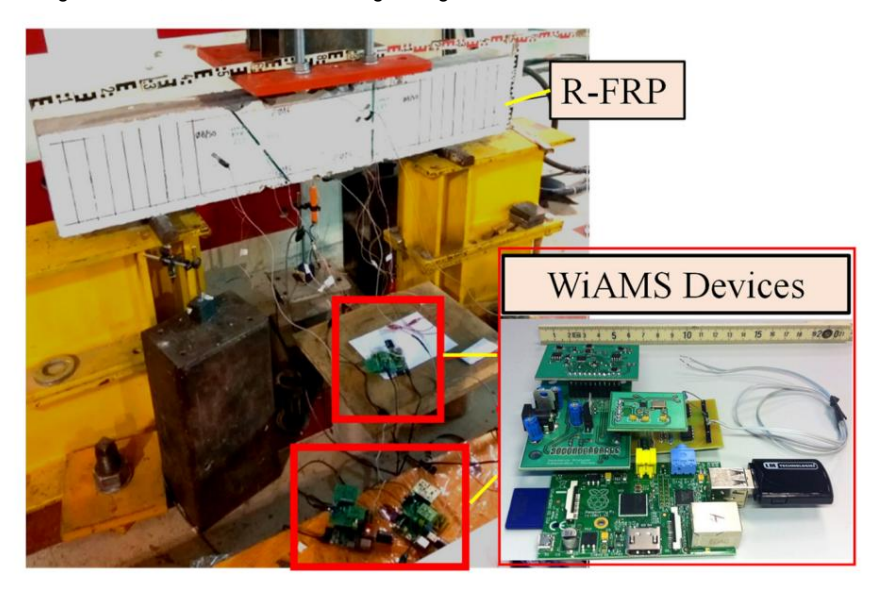


Abbildung 3. WibiM Sing ser site Notes Granges Charge on engablish Methandae

Zu Beginn wurden EMI-Messungen am Strahl in seinem ursprünglichen Zustand durchgeführt. Zustand, wodurch eine Basislinie für den erklärten gesunden Zustand geschaffen wurde. Anschließend wurden diese Messungen unter verschiedenen potenziellen Schadensszenarien wiederholt, wobei Bedingungen simuliert wurden die die strukturelle Integrität beeinträchtigen könnten. Die erhaltenen Ergebnisse wurden dann sorgfältig verglichen, um Abweichungen anhand statistischer Kennzahlen zu bewerten, insbesondere des Mittelwerts Quadratische Abweichung (RMSD). Diese vergleichende Analyse ermöglichte die Erkennung und Bewertung struktureller Veränderungen und lieferte wertvolle Einblicke in den Gesundheitszustand des Strahls und Integrität unter verschiedenen Belastungsbedingungen. An dieser Stelle ist es erwähnenswert, dass

Machine Translated by Google Die Messungen wurden unter verschiedenen potenziellen Schadensszenarien wiederholt, wobei Bedingungen simuliert wurden, die die strukturelle Integrität beeinträchtigen könnten. Die erhaltenen Ergebnisse wurden dann sorgfältig verglichen, um etwaige Abweichungen anhand statistischer Kennzahlen, insbesondere der quadratischen Mittelwertabweichung (RMSD), zu bewerten. Diese vergleichende Analyse ermöglichte die Erkennung und Bewartung Bewertung struktureller Veränderungen, die wertvolle Einblicke in den Gesundheitszustand und die Integrität des Trägers unter verschiedenen Belastungsbedingungen liefert. An dieser Stelle ist es erwähnenswert, dass alle Spannungsmessungen unter kontrollierten Laborbedingungen durchgeführt

> งงงับโดยการและเกิดเลือนเป็นเราะ Sind Feuchtiakeitsschwankungen vermeiden. Störungen durch Temperatur- und Feuchtigkeitsschwankungen vermeiden.

3.5. Installation von PZT-Patches 3.5. Installation von PZT-Patches

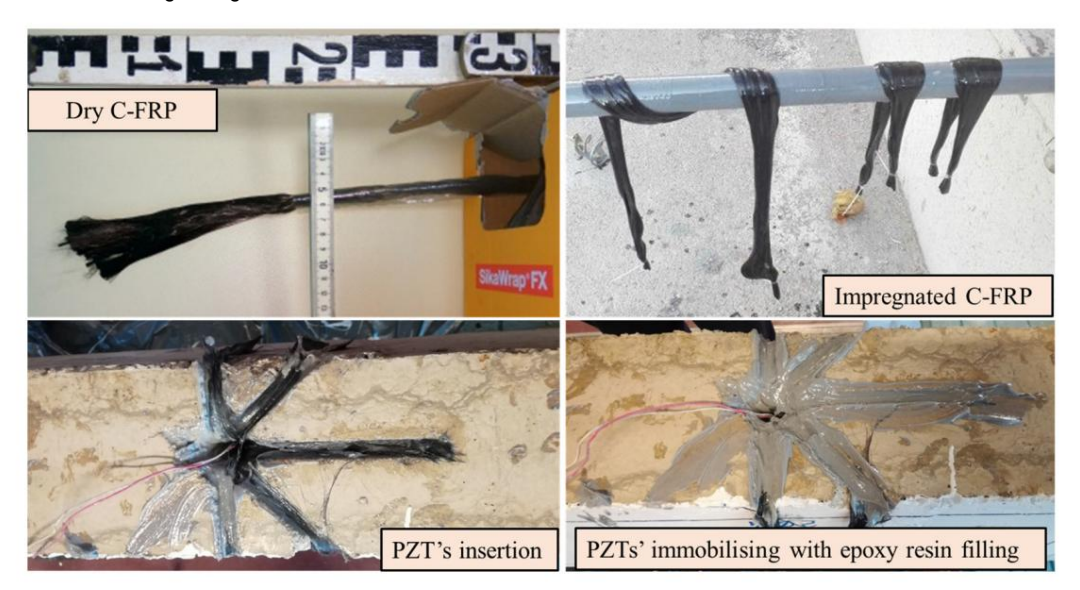
3.5. Installation von PZT-Patches

Der R-FRP-Strahl war mit identischen kleinen und dünnen PZT-Wandlern ausgestattet, die jeweils Der R-FRP-Strahl war mit identischen kleinen und dünnen PZT-Wandlern ausgestattet, die jeweils mit den Abmessungen 10 x 10 x 2 mm. Diese PZT-Patches mit der Bezeichnung PlC151 wurden mit den Abmessungen 10 x 10 x 2 mm hergestellt. Diese PZT-Patches mit der Bezeichnung PlC151 wurden mit den Abmessungen 10 x 10 x 2 mm hergestellt. Diese PZT-Patches mit der Bezeichnung PlC151 wurden mit den Abmessungen 10 x 10 x 2 mm hergestellt. Von der Firma PI Ceramics. Insgesamt zehn PZTs wurden strategisch positioniert innerhalb der von der Firma PI Ceramics. Insgesamt zehn PZTs wurden strategisch positioniert innerhalb der von der Strahl in verschiedenen Konfigurationen, wie in Abbildung 2 dargestellt. Sechs PZTs (drei im Vorderen vorne und drei hinten) wurden extern mit Epoxidharz an kritischen mechanischen Stellen verklebt und drei hinten) wurden extern mit Epoxidharz an kritischen mechanischen Stellen verklebt an der Betonoberfläche, insbesondere an Stellen, die zu Biege- und Schubrissen neigen, an der Betonoberfläche, insbesondere an Stellen, die zu Biege- und Schubrissen neigen, Risse, Dezeichnet als xil-X6. Zwei weitere PZTs wurden an die Stahlbewehrung geklebt, mit wobei einer in der Mitte des Zugbewehrungsstabes (S2R) und der andere in der Mitte des Zugbewehrungsstabes (S1R).

Mitte des Biegebewehrungsstabes (S1R).

Die verbleibenden zwei PZT-Patches wurden sorgfältig auf den GFRB-Seilen platziert. Die und Stahlbewehren der Det verkleben den Det verkleben Die verkleben den Det verkleben Det verklebe

Die verbleibenden zwei PZT-Patches wurden sorgfältig auf den C-FRP-Seilen platziert. Die verbleibenden zwei PZT-Patches wurden sorgfältig auf den C-FRP-Seilen platziert. Dabei wurde folgendes Verfahren angewendet. Die PZT-Patches wurden gleichzeitig mit folgenden Verfahren eingebettet. Die PZT-Patches wurden gleichzeitig mit wirden, Seilen, die in jedes Bohrloch eingerührt wurden. Jeder PZT-Patch wurde sicher an dem Seilengt befestigt Seil mit einem Époxidkleber, und die geschweißten Drähte wurden sorgfältig mit einem Epoxidkleber an das Seil gebunden, und die geschweißten Drähte wurden sorgfältig mit einem eine Aufrollkomponente und ein Stahldraht, um die endgültige, vorgesehene Position des PZT-Patches sicherzustellen eine Aufrollkomponente und ein Stahldraht, um die endgültige, vorgesehene Position des PZT-Patches sicherzustellen innerhalb des Lochs. Die Bindeposition wurde strategisch gewählt, so dass der PZT-Patch innerhalb des Lochs endete der Selldurchlauflänge verbunden. innen mit dem Bohrloch in der Mitte Stahldraht dienthels Hillsmittel zum Führen des Szills des BZT-Batches und der Drähte durch Stahldraht ฟอลิสตายs ซกกอาก ซรายประกายสายเกิด อีกจาก keinen เปียหยายหายเลื่อง ซกกอาก ซายเกิด เกิด เกิด เกิด เกิด เกิด เกิด in weils windin abbildings tedargestellt. jeweils,



Abbiitatuma 4. Einsetzen den PZT-Wandler in die mitt dem C-FRP-Seiten montierten Bohnlöcher.

4. Ergebnisse und Diskussion 4. Ergebnisse und Diskussion

4.1. Pullout-Test

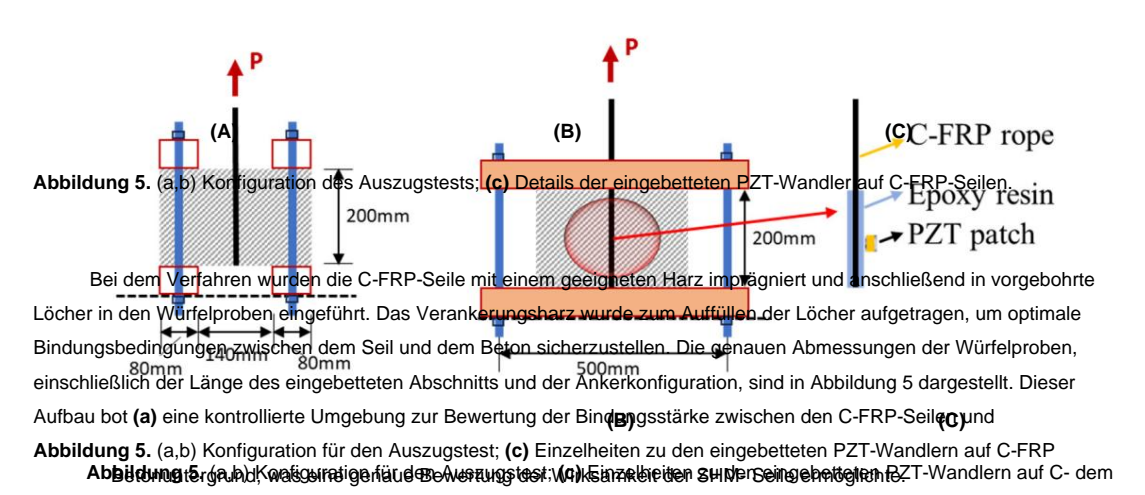
4.1. Auszugstest

Um die Wirksamkeit des EMI-basierten SHM-Systems bei der Bewertung der Bindungsstärke zu beurteilen, Es wurde ein Auszugsversuch mit einer geraden Konfiguration zur Verankerung der C-FRP-Seile durchgeführt, ohne hervorstehendes Ende. In diesem Zusammenhang wurden kubische Betonproben hergestellt, um dienen als Aufnahme für die Verankerung, wie in Abbildung 5 dargestellt.

Dabei wurden die C-FRP-Seile mit einem geeigneten Harz imprägniert und anschließend Einsetzen in vorgebohrte Löcher in den Würfelproben. Das Verankerungsharz wurde wird zum Auffüllen der Löcher verwendet, um optimale Bindungsbedingungen zwischen dem Seil und dem Beton. Detaillierte Abmessungen der Würfelproben, einschließlich der Länge der eingebetteten

und die Ankerkonfiguration sind in Abbildung 5 dargestellt. Diese Anordnung lieferte eine kontrollierte Umgebung zur Bewertung der Verbundfestigkeit zwischen den C-FRP-Seilen und

Um die Wirksamkeit des EMI-basierten SHM-Systems bei der Bewertung der Haftfestigkeit zu beurteilen, wurde ein Auszugsversuch mit einer geraden Konfiguration zur Verankerung der C-FRP-Seile ohne hervorstehende Enden durchgeführt. In diesem Zusammenhang dienten kubische Betonproben als Betonsubstrat, was eine genaue Beurteilung der Wirksamkeit des SHM ermöglichte. hergestellt, um als Wirte für die Verankerung zu dienen, wie in Abbildung 5 dargestellt. System Zur Erkennung potenzieller Bindungsderekte oder einer Verschlichterung im Läufe der Zeit.



System zur Erkennung potenzieller Bindungsfehler oder einer Verschlechterung im Laufe der Zeit.

Der Aufbau wurde einem direkten Auszugsversuch unterzogen, bei dem eine monotone Belastung mit einer konstanten Last angeweraditauwsrdeurdere Prozesseinmina sauszugsversagneinner zigner Filer derrite mit einen roperigere gleitemuntgrin und derkomstan Ausstanse angewendet wurde Verschiebungsrate von 0,5 mm/min bis zum Versagen. Während des Tests wurden drei Lasersensoren in vorgebohrte Löchenseingen Währelpuddess Teisste Wührdelbast ei dersachssensgistenst zu wurden drei Lasersensoren in vorgebohrte Löchenseingen Währelpuddess Teisste Wührdelbast ei dersachssensgisten zu wurden betritiel Liebuhrigsrinde in den hervorstehenden Ende des Seils sorgfältig aufgezeichnet das Ausmaß der freien angewendet, um die hervorstehenden Ende des Seils sorgfältig aufgezeichnet das Ausmaß der freien angewendet, um der hervorstehenden Ende des Seils sorgfältig aufgezeichnet zuwischenstänge Gert einem de dem Positioniert auf dem Endschlupfe, wie in Abbildung Ga dargestellt. Zusätzlich erfasste ein umfassendes Datensystem den Beton Contant und der entsprechenden Messungen des Freien Endschlupfs. Die seine Bastung und der entsprechenden Messungen des Freien Endschlupfs. Die seine Bastung und der entsprechenden Messungen des Freien Endschlupfs.

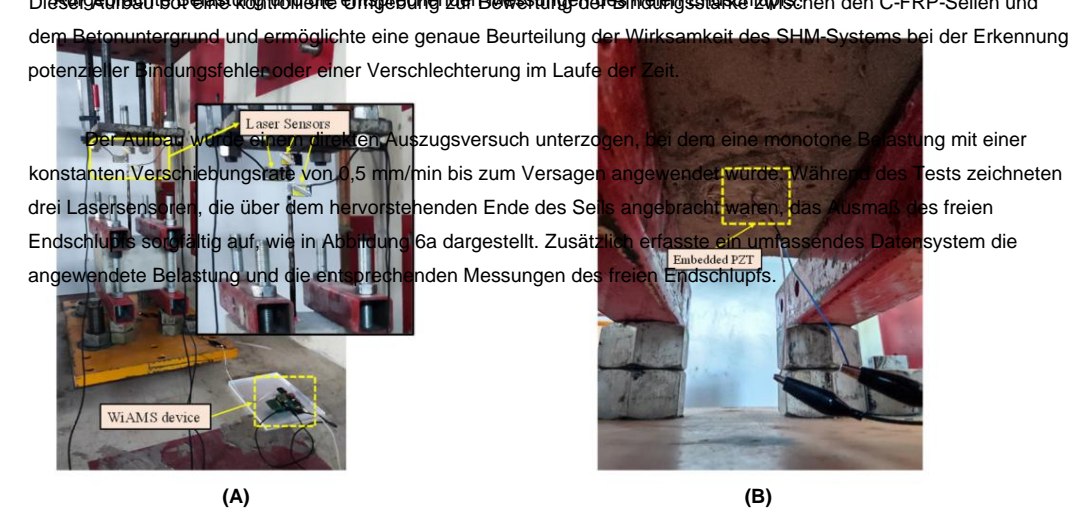


Abbildung 6. (a) Pullout -Testkonfiguration und WiAMS-Gerät; (b) umgedrehte Ansicht des eingebetteten dedizierte PZT-Wandler auf der Konfiguration der C-FRP-Seile.

Darüber **Darüber Darüberhinatus wiender intstrategischnellatziert மா இதாய் Patteth வெளியில் Seil geklebt.** das Seil **geklebt மாழ்க்கை Ab tildung 65 watgest și libi ins Ab Bildung 65 watgest 65 watg**

Rolle bei der Überwachung und Erfassung der strukturellen Reaktion des Verankerungssystems und bietet wertvolle Erkenntnisse zum Verbundverhalten zwischen C-FRP-Seil und Betonuntergrund während des gesamten Austrugstests.

Das Spannungs-Frequenz-Diagramm zum Auszugsversuch ist in Abb. 6 dargestellt. (a) Konfiguration des Auszugsversuchs und WiAMS-Gerät: (b) Ansicht der Einbettung von oben nach unten 7. In einer schwarzen durchgezogenen Linie ist die Reaktion im ursprunglichen Zustand des C-FRP-Seils dediziert PZT-Wandler auf der Konfiguration der C-FRP-Seile. dargestellt und als "gesund" gekennzeichnet. Darüber hinaus sind in durchgezogenen Linien in Cyan und Blau die

Spannungsreaktionsmessungen in der Aufstiegsphase und die maximale Zugfestigkeit dargestellt
Darüber hinaus wurde ein strategisch platzierter PZT-Patch auf das Seil geklebt und als "Dam1" bzw. "Dam2"
bezeichnet. Darüber hinaus ist in der grünen durchgehenden
das vorgebohrte Loch des Würfels, wie in Abbildung 6b dargestellt. Dieser PZT-Patch spielte eine entscheidende Rolle.
Die Spannungsmessung im absteigenden Post-Peak-Stadium ist dargestellt und gekennzeichnet

als "Dam3". Bei genauerer Betrachtung des Diagramms wurden erkennbare Abweichungen in der Reaktionskurven zwischen dem unbeschädigten Zustand und verschiedenen simulierten Schadensstufen

Abbildung 7. In einer schwarzen durchgehenden Linie ist die Reaktion im ursprünglichen Zustand des C-Machine Translated by Google FRP-Seils dargestellt und als "Gesund" gekennzeichnet. Darüber hinaus sind in cyanfarbenen und blauen durchgehenden Linien die Spannungsreaktionsmessungen im aufsteigenden Stadium und die Spitzenzugfestigkeit dargestellt und als "Dam1" bzw. "Dam2" gekennzeichnet. Darüber hinaus ist in der grünen durchgehenden Linie die Spannungsmessung im absteigenden Nachspitzenstadium dargestellt und₄₁₄ bezeichnet als "Dam3". Bei genauerer Betrachtung des Diagramms wurden in den Antwortkurven zwischen dem unbeschädigten Zustand und verschiedenen simulierten Schadensstufen im Frequenzbereich von 120-250 kHz erkennbare Abweichungen festgestellt. Diese Beobachtung unterstreicht die im Frequenzbereich von 120–250 kHz. Diese Beobachtung unterstreicht die
Die Fähigkeit der Sensoren, Enthaftungsbedingungen oder das Versagen der C-FRP-Seile zu erkennen.
Die Mag- Die Fähigkeit, Enthaftungsbedingungen oder das Versagen der C-FRP-Seile zu erkennen. Die MagGrad der Sprungänderung in der Gesamtantwort des PZT über den angegebenen Frequenzbereich. Grad
der Sprungänderung in der Gesamtantwort des PZT über den angegebenen Frequenzbereich.
Bereich zeigt das Ausmaß des Versagens an. Diese Abweichungen im Spannungs-Frequenz-Diagramm geben wertvolle Einblicke in die strükturelle Integrität des Veränkerungssystems und ermöglichen die

die Erkennung potenzieller Bindungsfehler oder Degradationen während des Auszugstests. die Erkennung potenzieller Bindungsfehler oder Degradationen während des Auszugstests.

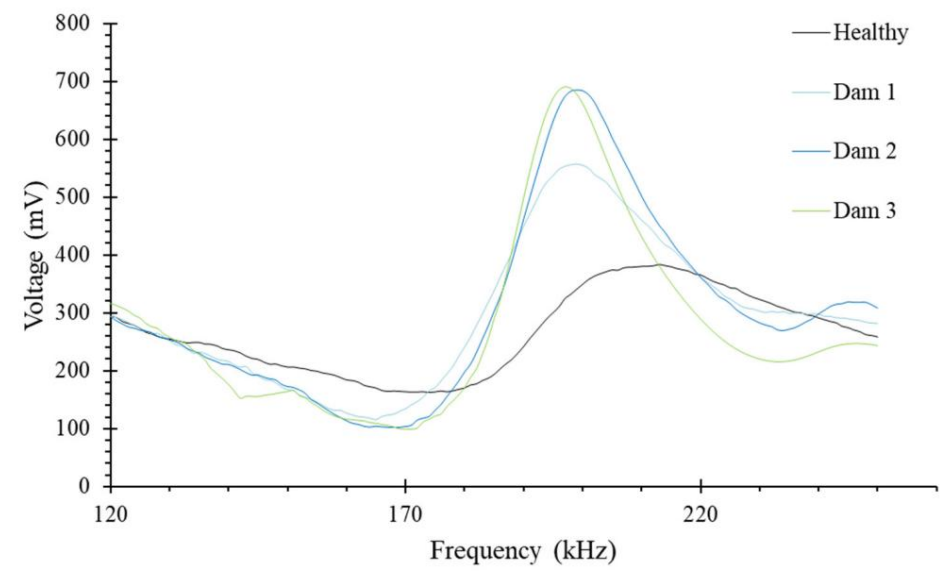


Abbildung 7. Spannungsreaktion von PZT beim Auszugstest des C-FRP-Seils. **Abbildung 7.** Spannungsreaktion von PZT beim Auszugstest des C-FRP-Seils.

- 4.2. Tiefenstrahl-Belastungstest
- 4.2. Belastungstest für tiefe Leistung des Trägers mit rechteckigem Querschnitt , dargestellt durch die Kurven, die die aufgebrachte Last gegenüber der Durchbiegung in der Mitte darstellen, ist in

Die Albeitebung. Schargestet Hithiefter Amaeigsen diese Gestand verhast eines eingene Beit Rencfibiegem Sie denter Mitter frühelbenillentersauchaungersomrehalbenischesel. Falken Darbiber hinnerus ist das Rissmuster

Appl. Mech. 2024, 5, FOR PEER REVIE & Corbebbagetete Risbation for each act (27) Abbition of Particular street act (27) Abbition of Par DiezwäätzlichesEielstigkesindligestrukturelle Reaktionruletev underangiedlich en Abeilastyngsbeding ungestellt. Sie gewähren zusätzliche Einblicke in die strukturelle Reaktion unter unterschiedlichen Belastungsbedingungen.

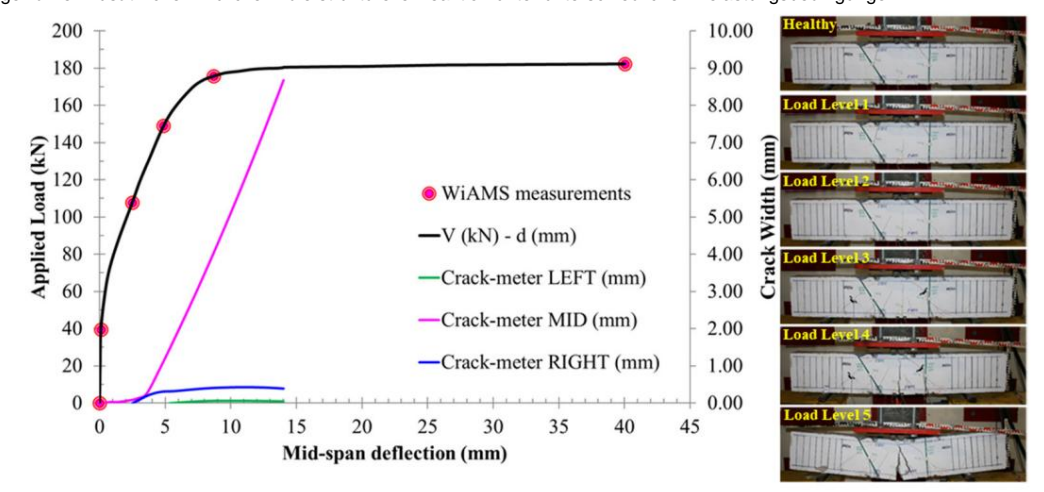


Abbildung & Rissynstolehund & Abbildung & Preparation of the Preparati

4.4.3Datementallyse

Deignstwistische Ausbrecher Andreinzur auf anberüng wert Eine wert und wert eine wert volles zűWerkzengurang, von AlawairchiendantemEsthasionethrewizwischeerdemsprantikelichzoszustendound nandhistra cann na calair a she an bha watin ac i she an tara cann ta an tara cann in diesem Kontext mithilfe des statistischen Index RMSD analysiert und ausgewertet. Der Ausdruck des Index ist unten in Gleichung (3) angegeben.

wurden in diesem Zusammenhang analysiert und mithilfe des statistischen Index RMSD ausgewertet. Der Ausdruck des Index ist unten in Gleichung (3) angegeben.

RMSD =
$$\frac{\prod_{r=1}^{M} Vp(fr) \ddot{y} D \ddot{y} Vp(fr)}{\prod_{r=1}^{M} Vp(fr) \ddot{y}} 0$$
 (3)

415

wobei sich $Vp(fr)_0$ bezieht sich auf die Spannungsantwort im ursprünglichen ursprünglichen Zustand, während $Vp(fr)_0$ auf die Spannungsreaktionen in jedem nachfolgenden Zustand bezieht.

4.4. Bewertung der Wirksamkeit der Nachrüsttechnik

Basierend auf den Ergebnissen des Auszugstests und den ermittelten RMSD-Indexwerten bei bestimmten Belastungsstufen bis zum endgültigen Bruch des C-FRP-Seils (siehe Abbildung Kap. 2024 PREVIEWR PEER-REVIEW) wurde versucht, die Restscherfestigkeit zu bewerten. Diese Bewertung wurde mithilfe einer homogenisierenden Ansatzes durchgeführt, bei dem die RMSD-Werte des Auszugstests mit denen des tiefen Trägers korreliert wurden.

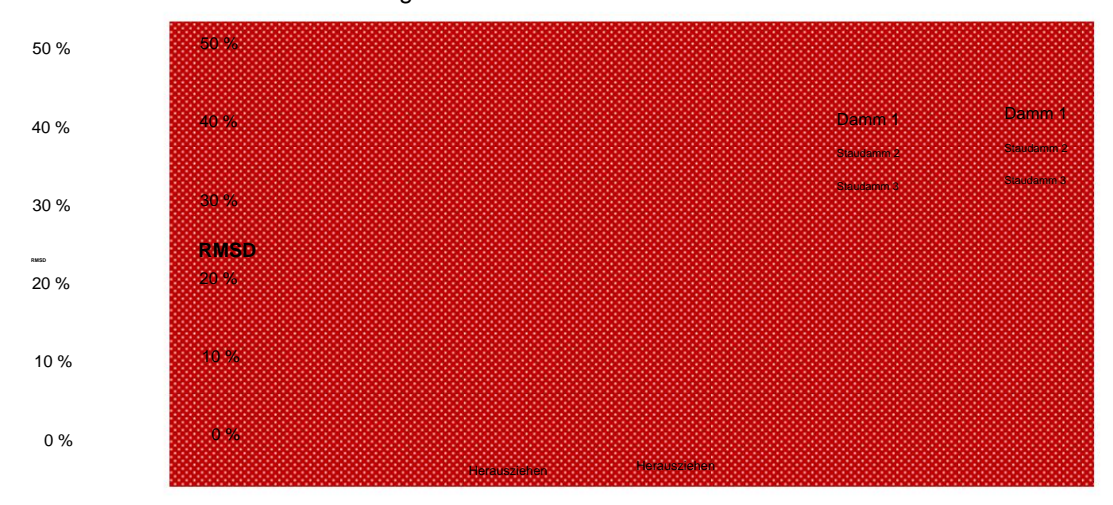


Abbildung 9. RMSD-Werte des PZT beim Auszugstest des C-FRP-Seils.

Abbildung 9. RMSD-Werte des PZT beim Auszugstest des C-FRP-Seils.

Die aufgezeichnete maximale Auszugslast war ungefähr 27, kN, was einer Seilverschiebung von 30 mm bei Durchgangsseile im Verlam e geboren der Vergleich und stellte das Totalversagen standardisiert. Dieser Homogenisierungsprozess ermoglichte einen direkten Vergleich und stellte das Totalversagen Abbildung 11 dargetatel und recht sind die Verlag aus der Verlag de

Abbildung 10 bestätigt diesen Ansatz weiter.



W1

Abbildung 10. Endgandus des C-FRP-Seils. Abbildung 10. Endgultiger Versagensmödus des C-FRP-Seils.

0 %

100%	100% Darüber hinaus wurden alle RMSD-Indexwerte, die von den beiden gebundenen PZTs, die in die
90 %	90 % Durchgangsseilen eingebettet sind, erhalten wurden, relativ zu den erhaltenen Werten standardisiert. Laststufe 1 (22
80 %	80 % Belastungsstufe 1 (22% आगळ्य) 80 % aus dem Auszugsversuch. Dieser Homogenisierungsprozess ermöglichte eingsgigligeten Abengleiche August ein Belastungsstufe 2 (59% Vmax)
70 %	Die Restscherfestigkeit der Seile W1 bzw. W2 ist in Abbildungststufe 8g62% Wmax) Laststufe 3 (82% Vmax)
60 %	Durch Angleichen der RMSD-Indexwerte des PZT-fähigen Überwachungssy seiststufe 4 (96% Vmax)
50 %	Durch die Belastungsstufe 5 (Vmax) aus dem Auszugsversuch konnten wertvolle Erkenntnisse über die Restscherfestigkeit der
40 %	Seileound ihr Verhalten unter unterschiedlichen Belastungsbedingungen gewonnen werden.
30 %	30 %
20 %	20 %
10 %	10 %

W2

Machine Translated by Google

Appl. Mech. 2024. 5

Abbildung 10. Endgültiger Versagensmodus des C-FRP-Seils.

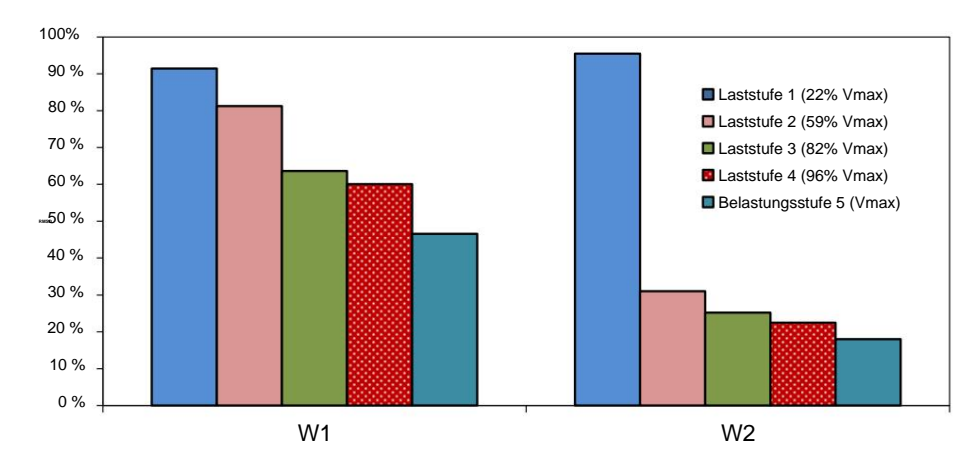


Abbildung 11. Restscherfestigkeitskapazität der eingebetteten C-FRP-Seile.

In Abbildung 111 kann die allmähliche Reduzierung der Scherfestigkeit des WI-Seils bedechtet werden, was in erser Linie aufrdie Bildung des ersen Scherfesse im rechten Feld zurückzuführen ist. Wit zunehmender Belestung weitete sich dieser Ries weiter aus, was dezu führte, dass der Beion absorbierte. einen erheblichen Teil der entwickelten Scherspannungen . Folglich ist der Beitrag von des ischten Seilsendahn untgeltweitendahn dien gekengstellung dies Schlägswellung des rechten Wilchen steilhalts beitehn Beigerichten Beitre Risstigliden Rissbildung Sicherfeten Dieberfeld. erwies Diese Beobachtung wird durch das Rissmuster in Abbildung 8 bestätigt, wo es offensichtlich ist. Etass sisch dien extesisien Scheriesische Scherie

Dies spiegelt sich auch in den linken Rissmeterwerten wider, wo die Rissöffnung wurde im Vergleich zu der im rechten Feld deutlich reduziert. Bis zu diesem Belastungsniveau Das Seil verlor etwa 78 % seiner geschätzten Scherfestigkeit. Diese Erkenntnisse Licht auf die dynamische Wechselwirkung zwischen den Verstärkungselementen und der Struktur Verhalten, was die Bedeutung einer durchdachten Positionierung und Designüberlegungen unterstreicht bei der Optimierung der Leistung und Widerstandsfähigkeit gegenüber scherbedingten Ausfallmechanismen.

Um die Wirksamkeit der innovativen Verstärkungstechnik weiter zu bewerten, wurde das von Mofidi et al. [47] vorgeschlagene analytische Modell angewendet, um den Beitrag der Seile zu berechnen zur Gesamtschubfestigkeit des Balkens im Versagenszustand. Darüber hinaus ist es wichtig sicherzustellen, dass Die effektive Dehnung der C-FRP-Seile darf 0,4 % nicht überschreiten, um eine ausreichende Verzahnung der Die Zuschlagstoffe des Betons und das Auffangen von Rissöffnungen werden gemäß der Empfehlung von ACI 440.2R-08 [48] gemessen.

Durch die Henerteure eller in erne elle mann die in der enterne handen Arbeit im

Durch die Umsetzung aller vorgeschlagenen Berechnungen, die in der entsprechenden Arbeit von Chalioris et al. [27] wurden folgende Werte abgeleitet:

Vf,ETS, Rseil = 39,6 kN Vf,ETS, Lseil = 53,3 kN

Darüber hinaus wird angenommen, dass die mittlere Laminatzugfestigkeit des Seil war ca. 2000 N/mm2 , Die Gesamtrestscherfestigkeit für Seil W1 betrug berechnet als Vf,ETS, Rrope = 31,8 kN. Ebenso für Seil W2 wurde die Restscherfestigkeit berechnet als Vf,ETS, Lrope = 49,2 kN, was eine bemerkenswerte Nähe von 92,3 % zur analytischen Berechnungsergebnissen. Diese Erkenntnisse unterstreichen die Wirksamkeit der vorgeschlagenen Verstärkungstechnik und heben ihr Potenzial für eine genaue Schätzung der verbleibenden Scherfestigkeit in realen Anwendungen.

5. Schlussfolgerungen

In diesem experimentellen Projekt wird die Wirksamkeit eines innovativen Verstärkungstechnik unter Verwendung von C-FRP-Seilen als Schubquerbewehrung durchgeführt. Diese Bewertung wurde durch die Implementierung einer EMI-basierten Methode durchgeführt ermöglicht durch PZT-Sensoren. Zusätzlich wird eine modifizierte Anwendung der statistischen Indexmetrik RMSD wurde eingesetzt, um die Wirksamkeit der Stärkungstechnik zu bewerten.

Im Gegensatz zur herkömmlichen Verwendung des RMSD-Index zur Darstellung von Schadenshöhen oder Belastungseinwirkungen wurden in dieser Studie die 100%-RMSD-Indexwerte zur Darstellung der Restscherkräfte verwendet.

Festigkeitskapazität. Dieser neuartige Ansatz bewertete die Leistung der Verstärkungstechnik und zeigte eine vielversprechende Konvergenz und Präzision mit den analytischen Vorhersagen. Diese vergleichende Analyse verbessert das Verständnis der Wirksamkeit der Verstärkungstechnik und liefert wertvolle Daten für die weitere Optimierung und Verfeinerung struktureller Verstärkungsstrategien.

Darüber hinaus bieten die mit der angewandten EMI-basierten Methode erzielten Ergebnisse eine bedeutende Möglichkeit, als zuverlässiges Zusatzinstrument für die Diagnose von Schadensdefekten und die Bewertung der Wirksamkeit faserbasierter Materialien in Echtzeitszenarien zu diene Es ist anzumerken, dass das Vorhandensein von Epoxidharz in den Bohrlöchern die Genauigkeit der mit dem EMI-basierten PZT- Ansatz erzielten Versuchsergebnisse leicht beeinträchtigen kann.

417

Obwohl diese Studie eine vielversprechende Übereinstimmung mit analytischen Vorhersagen hinsichtlich des Beitrags des Seils zur Scherfestigkeit zeigt, sind weitere experimentelle Arbeiten erforderlich, um die Genauigkeit der vorgeschlagenen Bewertungsmethode weiter zu bewerten und zu verbessern . Durch die Durchführung weiterer Experimente soll die Robustheit und Zuverlässigkeit dieses neuartigen Ansatzes für Anwendungen im realen Maßstab sichergestellt und so das Feld der Techniken zur Strukturverstärkung vorangebracht werden.

Beiträge der Autoren: Konzeptualisierung, NAP, MCN und GMS; Methodik, NAP und MCN; formale Analyse, NAP und GMS; Untersuchung, CEC, NAP und GMS; Datenkuratierung, NAP und MCN; Schreiben – Vorbereitung des Originalentwurfs, NAP und MCN; Schreiben – Überprüfung und Bearbeitung, NAP und CEC; Visualisierung, MCN; Überwachung, CEC. Alle Autoren haben die veröffentlichte Version des Manuskripts gelesen und stimmen ihr zu.

Finanzierung: Diese Forschung erhielt keine externe Finanzierung.

Datenverfügbarkeitserklärung: Die in der Studie vorgestellten Originalbeiträge sind im Artikel enthalten, weitere Anfragen können an den/die entsprechenden Autor(en) gerichtet werden.

Interessenkonflikte: Die Autoren erklären, dass keine Interessenkonflikte bestehen.

Verweise

- Zhang, T.; Visintin, P.; Oehlers, DJ Scherfestigkeit von Stahlbetonträgern mit Stahlbügeln. J. Struct. Eng. 2016, 142, 04015135. [CrossRef] 2.
 Zararis, PD Schub-Druck-Versagen in Stahlbeton-Tiefbalken. J. Struct. Eng. 2003, 129, 544–553. [CrossRef]
- Godat, A.; L'Hady, A.; Chaallal, O.; Neale, KW Bindungsverhalten der ETS FRP-Stabscherverstärkungsmethode. J. Compos. Constr. 2012, 16, 529–539. [CrossRef]
- Azam, R.; Soudki, K.; West, JS; Noël, M. Verhalten von scherkritischen Stahlbetonträgern, verstärkt mit CFRCM. J. Compos. Constr. 2018, 22, 04017046. [CrossRef]
- 5. Karayannis, CG; Sirkelis, GM Verstärkung und Sanierung von Stahlbetonträger-Stützenverbindungen mit Carbon-FRP-Ummantelung und Injektion von Epoxidharz. Earthq. Engng Struct. Dyn. **2008**, 37, 769–790. [CrossRef]
- Karayannis, CG; Naoum, MC Torsionsverhalten mehrstöckiger Stahlbetonrahmenkonstruktionen aufgrund asymmetrischer seismischer Wechselwirkung.
 Eng. Struct. 2018. 163, 93–111. [CrossRef]
- Tsonos, AG Wirksamkeit von CFK-Ummantelungen bei der Nachrüstung von Träger-Stützen-Unterbaugruppen nach und vor Erdbeben.
 Struct. Eng. Mech. 2007, 27, 393–408. [CrossRef]
- 8. Lampropoulos, AP; Dritsos, SE Modellierung von Stahlbetonstützen, die mit Stahlbetonmänteln verstärkt sind. Earthq Engng Struct Dyn 2011, 40, 1689–1705. [CrossRef]
- 9. Ma, C.-K.; Apandi, NM; Sofrie, CSY; Ng, JH; Lo, WH; Awang, AZ; Omar, W. Reparatur und Sanierung von Betonkonstruktionen mittels Einschluss: Eine Übersicht. Constr. Build. Mater. 2017, 133, 502–515. [CrossRef]
- 10. Azam, R.; Soudki, K.; West, JS; Noël, M. Verstärkung schubkritischer Stahlbetonträger: Alternativen zu extern verklebten CFK- Platten. Constr. Build. Mater. 2017, 151, 494–503. [CrossRef]
- Ferreira, D.; Oller, E.; Marí, A.; Bairán, J. Numerische Analyse von scherkritischen Stahlbetonträgern, die mit FRP-Platten scherverstärkt sind.
 J. Compos. Constr. 2013, 17, 04013016. [CrossRef]
- 12. Baggio, D.; Soudki, K.; Noël, M. Verstärkung von schubkritischen Stahlbetonträgern mit verschiedenen FRP-Systemen. Constr. Build. Mater. 2014, 66, 634–644. [CrossRef]
- Aguilar, V. Scherfestigkeit von Betonbauteilen: Herausforderungen, aktuelle Entwicklungen und Möglichkeiten. Adv. Civ. Eng. Technol. 2020,
 13. Aguilar, V. Scherfestigkeit von Betonbauteilen: Herausforderungen, aktuelle Entwicklungen und Möglichkeiten. Adv. Civ. Eng. Technol. 2020,
 14. 1–2 .
- 14. I¸sÿk, E.; Uluta¸s, H.; Harirchian, E.; Avcil, F.; Aksoylu, C.; Arslan, MH Leistungsbasierte Bewertung von Stahlbetongebäuden mit kurzen Stützen aufgrund unterschiedlicher Konstruktionsprinzipien. Buildings 2023, 13, 750. [CrossRef]

- 15. Pan, Z.; Li, B. Bewertung von Scherfestigkeits-Bemessungsmethoden für schlanke, scherkritische Stahlbetonträger. J. Struct. Eng. **2013,** 139, 619–622. [CrossRef]
- 16. Papadopoulos, NA; Naoum, MC; Sapidis, GM; Chalioris, CE Rissbildung und Faserablösungserkennung von mit C-FRP-Seilen verstärkten Betontiefbalken gegen Scherung unter Verwendung eines Echtzeit-Überwachungssystems. Polymers 2023, 15, 473. [CrossRef]

418

- 17. Bilotta, A.; Ceroni, F.; Di Ludovico, M.; Nigro, E.; Pecce, M.; Manfredi, G. Verbundwirkungsgrad von EBR- und NSM-FRP-Systemen zur Verstärkung von Betonbauteilen. J. Compos. Constr. **2011**, 15, 757–772. [CrossRef]
- 18. Seo, S.-Y.; Feo, L.; Hui, D. Bindungsstärke von oberflächennah montierten FRP-Platten zur Nachrüstung von Betonkonstruktionen. Kompositionsstruktur. **2013**, 95, 719–727. [CrossRef]
- 19. Breveglieri, M.; Aprile, A.; Barros, JAO Eingebettete Querprofil-Scherverstärkungstechnik mit Stahl- und CFRP-Stangen in Stahlbetonträgern mit unterschiedlichem Anteil vorhandener Bügel. Compos. Struct. 2015, 126, 101–113. [CrossRef]
- 20. Li, P.; Wang, H.; Nie, D.; Wang, D.; Wang, C. Eine Methode zur Analyse der Langzeithaltbarkeit von unterirdischen Stahlbeton-Durchlassstrukturen unter gekoppelten mechanischen und Umweltbelastungen. J. Intell. Constr. 2023, 1, 9180011.
- 21. Said, M.; Adam, MA; Mahmoud, AA; Shanour, AS Experimentelle und analytische Scherbewertung von mit glasfaserverstärkten Polymerstäben verstärkten Betonbalken. Constr. Build. Mater. **2016**, 102, 574–591. [CrossRef]
- 22. Naoum, M.; Sapidis, G.; Papadopoulos, N.; Golias, E.; Chalioris, C. Strukturelle Gesundheitsüberwachung von Stahlbetonträger-Stützenverbindungen mit piezoelektrischen Wandlern. In Proceedings der Internationalen RILEM-Konferenz zur Synergie von Fachwissen für Nachhaltigkeit und Robustheit von zementbasierten Materialien und Betonstrukturen, Milos, Griechenland, 14.–16. Juni 2023; J ÿedrzejewska, A., Kanavaris, F., Azenha, M., Benboudjema, F., Schlicke, D., Hrsg.; RILEM-Buchreihe. Springer Nature: Cham, Schweiz, 2023; Band 43, S. 945–956. [CrossRef]
- Turner, L.; Davies, VC Normal- und Stahlbeton bei Torsion, insbesondere im Hinblick auf Stahlbetonträger. Sel. Eng. Pap. 1934, 1, 165. [CrossRef]
- 24. Chalioris, CE; Papadopoulos, NA; Sapidis, G.; Naoum, MC; Golias, E. EMA-basierte Überwachungsmethode für verstärkte Balken-Stützen-Verbindungen. In Proceedings der International ISCRAM Conference, Omaha, NE, USA, 28.–31. Mai 2023; S. 853–873.

 [Querverweis]
- 25. Alam, P.; Mamalis, D.; Robert, C.; Floreani, C.; Brádaigh, CMÓ. Die Ermüdung von kohlenstofffaserverstärkten Kunststoffen eine Übersicht. Compos. Part B Eng. **2019**, 166, 555–579. [CrossRef]
- 26. Zhu, X.; Abe, H.; Hayashi, D.; Tanaka, H. Verhaltenseigenschaften von Stahlbetonträgern mit ungleichmäßiger Korrosion entlang der Verstärkung. J. Intell. Constr. 2023, 1, 9180019. [CrossRef]
- 27. Chalioris, C.; Kosmidou, P.-M.; Papadopoulos, N. Untersuchung einer neuen Verstärkungstechnik für Stahlbetonträger mit Carbon-FRP-Seile als Querverstärkungen. Fibers **2018**, 6, 52. [CrossRef]
- 28. Bazli, M.; Abolfazli, M. Mechanische Eigenschaften von faserverstärkten Polymeren bei erhöhten Temperaturen: Ein Überblick. Polymere **2020**, 12, 2600. [CrossRef]
- 29. Kytinou, VK; Gribniak, V.; Zapris, AG; Chalioris, CE Ein innovativer Gesundheitsüberwachungsansatz zur Diagnose der Ablösung von faserverstärkten Polymeren durch Auszugs- und Schertests. In Analytische und experimentelle Methoden im Maschinenbau und Bauingenieurwesen; Springer: Cham, Schweiz, 2024; Band 28, S. 228–239. [CrossRef]
- 30. Ju, S.; Li, D.; Jia, J. Experimentelle Untersuchung und Schadensbewertung einer neuartigen Bindungsverankerung für Kohlenstofffasern Verstärkte Polymersehnen. J. Civ. Struct. Health Monit. 2023, 13, 117–132. [CrossRef]
- 31. El-Sisi, AA; El-Emam, HM; El-Kholy, AE-MI; Ahmad, SS; Sallam, HM; Salim, HA Strukturelles Verhalten von Stahlbetonträgern mit unbewehrten Bohröffnungen mit und ohne CFRP-Verstärkung. Polymers 2022, 14, 2034. [CrossRef]
- 32. Baena, M.; Jahani, Y.; Torres, L.; Barris, C.; Perera, R. Biegeverhalten und Vorhersage der Endablösung von mit NSM Carbon FRP verstärkten Stahlbetonträgern bei unterschiedlichen Betriebstemperaturen. Polymers 2023, 15, 851. [CrossRef]
- 33. Perera, R.; Gil, A.; Torres, L.; Barris, C. Diagnose der NSM FRP-Bewehrung in Beton mithilfe von Modellen mit gemischten Effekten und EMI-Ansätze. Compos. Struct. **2021**, 273, 114322. [CrossRef]
- 34. Pellone, L.; Ciminello, M.; Mercurio, U.; Apuleo, G.; Concilio, A. Ein Strukturüberwachungssystem zur Erkennung von Verbindungslinienfehlern an einem Demonstrator für Flügelkastenabschnitte in Originalgröße. Appl. Mech. 2024, 5, 36–57. [CrossRef]
- 35. Ai, D.; Mo, F.; Yang, F.; Zhu, H. Elektromechanische Impedanz-basierte Erkennung von Betonstrukturschäden mittels Hauptkomponentenanalyse in Kombination mit einem neuronalen Netzwerk. J. Intell. Mater. Syst. Struct. 2022, 33, 2241–2256. [CrossRef]
- 36. Ai, D.; Zhang, D.; Zhu, H. Schadenslokalisierung an Stahlbetonplattenkonstruktionen mittels elektromechanischer Impedanztechnik und wahrscheinlichkeitsgewichtetem Bildgebungsalgorithmus. Constr. Build. Mater. **2024**, 424, 135824. [CrossRef]
- 37. Sapidis, GM; Kansizoglou, I.; Naoum, MC; Papadopoulos, NA; Chalioris, CE Ein Deep-Learning-Ansatz zur autonomen Identifizierung von Druckschäden in faserverstärktem Beton unter Verwendung piezoelektrischer Blei-Zirkonat-Titanat-Wandler.

 Sensoren 2024, 24, 386. [CrossRef]
- 38. Wang, Z.; Chen, D.; Zheng, L.; Huo, L.; Song, G. Einfluss der axialen Belastung auf die elektromechanische Impedanz (EMI) von eingebetteten Piezokeramische Wandler in Stahlfaserbeton. Sensors 2018, 18, 1782. [CrossRef]
- 39. Naoum, MC; Papadopoulos, NA; Voutetaki, ME; Chalioris, CE Strukturelle Zustandsüberwachung von faserverstärkten Betonprismen mit Polyolefin-Makrofasern unter Verwendung eines piezoelektrischen Materialnetzwerks unter verschiedenen lastinduzierten Spannungen. Buildings 2023, 13, 2465. [CrossRef]

40. Naoum, MC; Sapidis, GM; Papadopoulos, NA; Voutetaki, ME Eine elektromechanische, auf Impedanz basierende Anwendung der Echtzeitüberwachung der lastbedingten Biegespannung und -schädigung in faserverstärktem Beton. Fibers 2023, 11, 34.
[Querverweis]

- 41. Khatir, A.; Capozucca, R.; Kathir, S.; Magagnini, E.; Benaissa, B.; Cuong-Le, T. Eine effiziente verbesserte Gradientenverstärkung für Dehnung Vorhersage in NSM FRP-verstärktem Stahlbetonträger. Front. Struct. Civ. Eng. 2024, im Druck.
- 42. Reddy, PN; Kavyateja, BV; Jindal, BB Methoden zur Überwachung der Strukturintegrität, Faserdispersion, mikro- und makrostrukturelle Eigenschaften, Sensorik und mechanische Eigenschaften von selbstsensorischem Beton eine Übersicht. Struct. Concr. 2021, 22, 793–805. [CrossRef]

419

- 43. Perera, R.; Huerta, MC; Baena, M.; Barris, C. Analyse von mit FRP verstärkten Stahlbetonträgern mittels elektromechanischer Impedanztechnik und digitalem Bildkorrelationssystem. Sensors 2023, 23, 8933. [CrossRef]
- 44. Li, D.; Zhou, J.; Ou, J. Schäden, zerstörungsfreie Prüfung und Sanierung von FRP-Verbund-Stoffstrukturen: Eine Übersicht. Konstr. Bau. Mater. 2021, 271, 121551. [CrossRef]
- 45. Khatir, A.; Capozucca, R.; Khatir, S.; Magagnini, E.; Benaissa, B.; Le Thanh, C.; Wahab, MA Ein neuer Hybrid-PSO-YUKI für Double Risserkennung in CFK-Auslegerträgern. Compos. Struct. **2023**, 311, 116803. [CrossRef]
- 46. Providakis, C.; Tsistrakis, S.; Voutetaki, M.; Tsompanakis, J.; Stavroulaki, M.; Agadakos, J.; Kampianakis, E.; Pentes, G.; Liarakos, E. Eine innovative aktive Sensorplattform zur drahtlosen Schadensüberwachung von Betonstrukturen. Curr. Smart Mater. 2016, 1, 49–62. [CrossRef]
- 47. Mofidi, A.; Chaallal, O.; Benmokrane, B.; Neale, K. Experimentelle Tests und Designmodell für Stahlbetonträger mit Scherverstärkung Verwendung der Embedded Through-Section FRP-Methode. J. Compos. Constr. **2012**, 16, 540–550. [CrossRef]
- 48. ACI (American Concrete Institute). Leitfaden für die Konstruktion und den Bau von außen verklebten FRP-Systemen zur Betonverstärkung Strukturen; ACI-440.2R-08; American Concrete Institute (ACI): Farmington Hills, MI, USA, 2008; S. 76.

Haftungsausschluss/Anmerkung des Herausgebers: Die in allen Veröffentlichungen enthaltenen Aussagen, Meinungen und Daten sind ausschließlich die der einzelnen Autoren und Mitwirkenden und nicht die von MDPI und/oder den Herausgebern. MDPI und/oder die Herausgeber lehnen jegliche Verantwortung für Personen- oder Sachschäden ab, die aus den im Inhalt erwähnten Ideen, Methoden, Anweisungen oder Produkten resultieren.